

Н. П. ФЛЕЙШМАН, О. В. МАРКОВСЬКА

### ВПЛИВ РЕБРА ЖОРСТКОСТІ НА ЗГИН КРУГЛОЇ ПЛИТИ ЗОСЕРЕДЖЕНИМИ МОМЕНТАМИ

Розглядається згин круглої ізотропної тонкої плити з підкріпленим краєм. Пружне ребро, яке підкріплює контур  $\gamma$  плити, є тонким стержнем сталого перетину. Плита перебуває під дією зосереджених моментів, які прикладені до краю. Розв'язок знайдено у замкнутому вигляді, що дозволяє дослідити задачу якісно і кількісно. В іншій постановці розв'язок аналогічних задач методом рядів Фур'є одержаний в монографії [1]. Вплив криволінійних ребер жорсткості на згин плит при різних інших навантаженнях досліджено в працях [4, 7, 8] та ін. [див. огляд 3].

1. Жорсткості на згин ( $A$ ) та крученння ( $C$ ) підкріплюючого ребра та циліндрична жорсткість  $D$  плити єважаються сталими величинами. Бігармонічна функція прогинів  $w$  шукається у вигляді

$$w = w_0 + w_1, \quad (1.1)$$

де  $w_0$  — відомий основний прогин плити при відсутності ребра жорсткості, а  $w_1$  — шуканий додатковий прогин, який обумовлений наявністю підкріплюючого ребра.

Без обмеження загальності приймемо радіус плити за одиницю. За формулою Гурса маємо

$$w_k = 2 \operatorname{Re} \left[ \bar{\zeta} \varphi_k(\zeta) + \int \psi_k(\zeta) d\zeta \right] \quad (k = 0, 1). \quad (1.2)$$

Тут  $\varphi_k(\zeta)$  та  $\psi_k(\zeta)$  — функції комплексного змінного  $\zeta = x + iy = re^{i\theta}$ , які голоморфні всередині  $\gamma$ . Напруження та деформації плити для основного та додаткового напружених станів виражаються відповідно через функції  $\varphi_k(\zeta)$  та  $U_k(\zeta) = \varphi'_k(\zeta) + \zeta \varphi_k(\zeta)$ .

Як показано в [5], визначення шуканих функцій  $\varphi_1(\xi)$  і  $U_1(\zeta)$  зводиться до інтегрування системи двох звичайних диференціальних рівнянь першого порядку із змінними коефіцієнтами на комплексній площині:

$$\begin{aligned} \varphi_1'(\zeta) + \alpha_{11} \zeta^{-1} \varphi_1(\zeta) + \alpha_{12} U_1(\zeta) &= V_1; \\ U_1'(\zeta) + \alpha_{21} \zeta^{-2} \varphi_1(\zeta) + \alpha_{22} \zeta^{-1} U_1(\zeta) &= V_2, \end{aligned} \quad (1.3)$$

Сталі коефіцієнти  $\alpha_{ij}$  виражаються через відносні жорсткості підкріплюючого ребра на згин та крученння

$$\delta_1 = \frac{A}{D}; \quad \delta_2 = \frac{C}{D} \quad (1.4)$$

таким чином:

$$\begin{aligned}\alpha_{11} &= \frac{3+\nu}{2} \left( \frac{1}{\delta_2} + \frac{1}{\delta_1} \right); \quad \alpha_{21} = \frac{3+\nu}{2} \left( \frac{1}{\delta_2} - \frac{1}{\delta_1} \right); \\ \alpha_{12} &= \frac{1-\nu}{2} \left( \frac{1}{\delta_2} - \frac{1}{\delta_1} \right); \quad \alpha_{22} = \frac{1-\nu}{2} \left( \frac{1}{\delta_2} + \frac{1}{\delta_1} \right) - 1.\end{aligned}\quad (1.5)$$

Праві частини рівнянь (1.3) мають вигляд

$$\begin{aligned}V_1 &= V_1^0 + \bar{a}_1 (\alpha_{21} + \alpha_{22}); \\ \zeta V_2 &= V_2^0 + \bar{a}_1 (\alpha_{11} + \alpha_{12} + 1),\end{aligned}\quad (1.6)$$

де у випадку довільного статично зрівноваженого навантаження по контуру плити матимемо

$$V_1^0 = -\varphi_0'(\zeta) - \overline{\varphi_0'(0)}; \quad (1.7)$$

$$V_2^0 = \overline{\varphi_0'(0)} + U_0(\zeta) - \zeta U_0'(\zeta); \quad (1.8)$$

$$a_1 = -\frac{\delta_1}{2(1+\nu+\delta_1)} [\varphi_0'(0) + \overline{\varphi_0'(0)}]. \quad (1.9)$$

Остаточно розв'язок системи (1.3) при  $\delta_1 \neq \delta_2$  можна записати у вигляді

$$\begin{aligned}\varphi_1(\zeta) &= \frac{\zeta}{k_2 - k_1} \{ [k_2 I_{11}(\zeta) - I_{12}(\zeta)] - [k_1 I_{21}(\zeta) - I_{22}(\zeta)] \} - \\ &\quad - \bar{a}_1 \zeta \left[ 1 - \frac{2(\alpha_{12} + \alpha_{22})(1+\nu+\delta_1)}{\mu_1 \mu_2 \delta_1} \right];\end{aligned}\quad (1.10)$$

$$\begin{aligned}U_1(\zeta) &= \frac{1}{k_2 - k_1} \{ k_1 [k_2 I_{11}(\zeta) - I_{12}(\zeta)] - k_2 [k_1 I_{21}(\zeta) - I_{22}(\zeta)] \} + \\ &\quad + \bar{a}_1 \left[ 1 + \frac{2(1+\alpha_{11} + \alpha_{21})(1+\nu+\delta_1)}{\mu_1 \mu_2 \delta_1} \right].\end{aligned}\quad (1.11)$$

Тут

$$I_{kj}(\zeta) = \zeta^{\mu_k} \int \zeta^{-1-\mu_k} V_j^0 d\zeta \quad (k, j = 1, 2).$$

$$k_{1,2} =$$

$$\begin{aligned}&= \frac{\left[ (1+\nu) \left( \frac{1}{\delta_2} + \frac{1}{\delta_1} \right) + 2 \right] \pm \sqrt{\left( \frac{1}{\delta_2} + \frac{1}{\delta_1} \right)^2 + (1+\nu) \left( \frac{1}{\delta_2} + \frac{1}{\delta_1} \right) + 1 - \frac{(3+\nu)(1-\nu)}{\delta_1 \delta_2}}}{-(1-\nu) \left( \frac{1}{\delta_2} - \frac{1}{\delta_1} \right)}; \\ &\quad (1.12)\end{aligned}$$

$$\begin{aligned}\mu_{1,2} &= -\left( \frac{1}{\delta_2} + \frac{1}{\delta_1} \right) \pm \\ &\quad \pm \sqrt{\left( \frac{1}{\delta_2} + \frac{1}{\delta_1} \right)^2 + (1+\nu) \left( \frac{1}{\delta_2} + \frac{1}{\delta_1} \right) + 1 - \frac{(3+\nu)(1-\nu)}{\delta_1 \delta_2}}.\end{aligned}\quad (1.13)$$

Розв'язок для рівних жорсткостей можна одержати, якщо інтегрувати (1.3) при  $\delta_1 = \delta_2$ . Якщо відомі функції (1.10) та (1.11), то функція  $\psi_1(\zeta)$ , яка голоморфна всередині  $\gamma$ , виразиться формулою

$$\psi_1(\zeta) = \frac{1}{\zeta} U_1(\zeta) - \frac{1}{\zeta} \varphi_1'(\zeta). \quad (1.14)$$

2. Нехай плита навантажена зосередженими моментами  $M_l$  ( $l=1, 2, \dots, r$ ), які прикладені в точках контура  $\sigma_l = e^{i\theta_l}$ . Ці моменти задовільняють умову рівноваги

$$\sum_1^r M_l = \sum_1^r (M_{xl} + iM_{yl}) = 0.$$

Для непідкріпленої плити маємо [9]

$$\begin{aligned} \varphi_0(\zeta) &= -\frac{i}{4\pi D(3+\nu)} \sum M_l \ln(\sigma_l - \zeta) + \frac{i(1-\nu)\zeta}{8\pi D(1+\nu)(3+\nu)} \sum \frac{M_l}{\sigma_l}; \\ \psi_0(\zeta) &= \frac{i}{4\pi D(1-\nu)} \sum \bar{M}_l \ln(\sigma_l - \zeta) - \frac{i}{4\pi D(3+\nu)} \sum \frac{M_l}{\sigma_l(\sigma_l - \zeta)}. \end{aligned} \quad (2.1)$$

Звідси

$$U_0(\zeta) = \frac{i\zeta}{4\pi D(1-\nu)} \sum \bar{M}_l \ln(\sigma_l - \zeta) + \frac{i}{8\pi D(1+\nu)} \sum \frac{M_l}{\sigma_l}. \quad (2.2)$$

Підставляючи функції (2.1) та (2.2) у формулі (1.7) — (1.9), знаходимо

$$\begin{aligned} V_1^0 &= -\frac{i}{4\pi D(3+\nu)} \sum \frac{M_l}{\sigma_l - \zeta} - \frac{i(1-\nu)}{8\pi D(3+\nu)(1+\nu)} \sum \frac{M_l}{\sigma_l} + \\ &\quad + \frac{i}{8\pi D(1+\nu)} \sum \frac{\bar{M}_l}{\sigma_l}; \end{aligned} \quad (2.3)$$

$$\begin{aligned} V_2^0 &= \frac{i\zeta^2}{4\pi D(1-\nu)} \sum \frac{\bar{M}_l}{\sigma_l - \zeta} + \frac{i}{8\pi D(1+\nu)} \sum \frac{M_l}{\sigma_l} - \\ &\quad - \frac{i}{8\pi D(1+\nu)} \sum \frac{\bar{M}_l}{\sigma_l}; \end{aligned} \quad (2.4)$$

$$a_1 = -\frac{\delta_1}{4(1+\nu+\delta_1)} \cdot \frac{i}{4\pi D(1+\nu)} \sum \left( \frac{M_l}{\sigma_l} - \frac{\bar{M}_l}{\sigma_l} \right). \quad (2.5)$$

За допомогою останніх виразів шукані функції (1.10) та (1.11) остаточно запишуться так:

$$\begin{aligned} \varphi_1(\zeta) &= -\frac{i}{4\pi D(3+\nu)(k_2-k_1)} \cdot \left\{ \zeta^{1+\mu_1} \left[ k_2 \sum M_l \int \frac{\zeta^{-1-\mu_1}}{\sigma_l - \zeta} d\zeta + \right. \right. \\ &\quad \left. \left. + \frac{3+\nu}{1-\nu} \sum \bar{M}_l \int \frac{\zeta^{1-\mu_1}}{\sigma_l - \zeta} d\zeta \right] - \zeta^{1+\mu_2} \left[ k_1 \sum M_l \int \frac{\zeta^{-1-\mu_2}}{\sigma_l - \zeta} d\zeta + \right. \right. \\ &\quad \left. \left. + \frac{3+\nu}{1-\nu} \sum \bar{M}_l \int \frac{\zeta^{1-\mu_2}}{\sigma_l - \zeta} d\zeta \right] \right\} + \frac{i \alpha_{22} \zeta}{4\pi D(3+\nu)(k_2-k_1)} \sum \frac{M_l}{\sigma_l} - \end{aligned}$$

$$-\frac{i\delta_1\zeta}{16\pi D(1+\nu)(1+\nu+\delta_1)} \sum \left( \frac{M_l}{\sigma_l} - \frac{\bar{M}_l}{\bar{\sigma}_l} \right); \quad (2.6)$$

$$\begin{aligned} \Psi_1(\zeta) = & -\frac{i}{4\pi D(3+\nu)(k_2-k_1)} \left\{ [k_1 - (1+\mu_1)] \zeta^{-1+\mu_1} \left[ k_2 \sum M_l \int_{\sigma_l-\zeta}^{\zeta-1+\mu_1} d\zeta + \right. \right. \\ & + \frac{3+\nu}{1-\nu} \sum \bar{M}_l \int_{\sigma_l-\zeta}^{\zeta^{1-\mu_1}} d\zeta \left. \right] - [k_2 - (1+\mu_2)] \zeta^{-1+\mu_2} \left[ k_1 \sum M_l \int_{\sigma_l-\zeta}^{\zeta^{1-\mu_2}} d\zeta + \right. \\ & \left. \left. + \frac{3+\nu}{1-\nu} \sum \bar{M}_l \int_{\sigma_l-\zeta}^{\zeta^{1+\mu_2}} d\zeta \right] \right\} - \frac{i(\alpha_{21} + \alpha_{22})}{4\pi D(3+\nu)\mu_1\mu_2} \zeta^{-1} \sum \frac{M_l}{\sigma_l} + \\ & + \frac{i}{4\pi D(3+\nu)} \sum \frac{M_l}{\zeta(\sigma_l-\zeta)}. \end{aligned}$$

У розв'язок (2.6) входять інтеграли вигляду

$$I(\zeta) = \int \frac{\zeta^{\pm 1-\mu_j}}{\sigma_l - \zeta} d\zeta, \quad (2.7)$$

які можна обчислити лише при раціональних значеннях чисел  $\mu_j$ . Але при довільних жорсткостях ребра  $\delta_1$  та  $\delta_2$  згідно з (1.13) числа  $\mu_j$  можуть бути ірраціональними. Тому при підрахунках краще задаватися значеннями  $\mu_1$  та  $\mu_2$  і обчислюти відповідні величини  $\delta_1$  і  $\delta_2$  за формулою

$$\frac{1}{\delta_{2,1}} = -\frac{\mu_1 + \mu_2}{4} \pm \sqrt{\left(\frac{\mu_1 + \mu_2}{4}\right)^2 - \frac{1 + \mu_1\mu_2 - \frac{1+\nu}{2}(\mu_1 + \mu_2)}{(3+\nu)(1-\nu)}}. \quad (2.8)$$

Відносні жорсткості  $\delta_1$ ,  $\delta_2$  для деяких значень  $\mu_1$  та  $\mu_2 = -\frac{1}{2}(\mu_1 + \mu_2) = -\frac{1}{\delta_2} + \frac{1}{\delta_1}$  наведені в табл. 1. Числа табл. 1 зображені у вигляді дробів, чисельник яких дорівнює  $\delta_1$ , а знаменник —  $\delta_2$ .

З (2.8) видно, що не всякий довільний парі чисел  $\mu_1$ ,  $\mu_2$  відповідають дійсні невід'ємні значення  $\delta_1$ ,  $\delta_2$  (див. риски в табл. 1). Якщо покласти під інтегралом в (2.7)  $\zeta = t^n$  та  $\pm 1 - \mu_j = \frac{m}{n}$ , де  $\frac{m}{n}$  — дріб, що не скорочується, дістанемо

$$I(t) = n \int \frac{t^{m+n-1}}{\sigma_l - t^n} dt. \quad (2.9)$$

При  $m \geq 1$  очевидно, що  $m+n-1 \geq n$  і підінтегральна функція в (2.9) може бути записана у вигляді

$$\frac{t^{m+n-1}}{\sigma_l - t^n} = - \sum_{k=0}^j \sigma_l^k t^{m-kn-1} + \sigma_l^{j+1} \frac{t^{m-jn-1}}{\sigma_l - t^n},$$

де  $m-jn-1 < n$ ;  $j = E\left(\frac{m-1}{n}\right)$ .

Таблиця 1

$\mu \downarrow$		-2	-1	-3/4	-1/2	-1/4	$\leftarrow \mu_1$
0,75	$\frac{4,035}{1,991}$	$\frac{0,316}{0,146}$	$\frac{0,579}{0,121}$	$\frac{0,696}{0,117}$	$\frac{0,859}{0,113}$	$\frac{1,110}{0,110}$	10
1	$\frac{8,595}{1,132}$	$\frac{2,896}{1,527}$	$\frac{0,521}{0,179}$	$\frac{0,640}{0,168}$	$\frac{0,803}{0,160}$	$\frac{1,047}{0,153}$	7,5
1,25	$\frac{14,55}{0,847}$	$\frac{4,653}{0,966}$	$\frac{0,426}{0,274}$	$\frac{0,568}{0,236}$	$\frac{0,737}{0,215}$	$\frac{0,980}{0,201}$	6
1,5	$\frac{24,52}{0,685}$	$\frac{6,105}{0,748}$	$\frac{1,842}{1,045}$	—	$\frac{0,655}{0,288}$	$\frac{0,906}{0,257}$	5
1,75	$\frac{45,62}{0,579}$	$\frac{7,511}{0,618}$	$\frac{2,423}{0,748}$	—	—	$\frac{0,764}{0,372}$	4
2	$\frac{122,7}{0,502}$	$\frac{8,921}{0,530}$	$\frac{2,814}{0,608}$	—	—	—	3
2,25	—	$\frac{10,35}{0,464}$	$\frac{3,129}{0,518}$	$\frac{1,189}{0,710}$	—	—	2,5
2,5	—	$\frac{11,82}{0,414}$	$\frac{3,391}{0,454}$	$\frac{1,407}{0,559}$	—	—	2,25
3	—	$\frac{14,87}{0,341}$	$\frac{3,835}{0,365}$	$\frac{1,659}{0,417}$	$\frac{0,876}{0,538}$	—	2
4	—	$\frac{21,63}{0,253}$	$\frac{4,474}{0,265}$	$\frac{1,946}{0,287}$	$\frac{1,173}{0,318}$	—	1,75
5	—	$\frac{29,50}{0,201}$	$\frac{4,925}{0,208}$	$\frac{2,118}{0,221}$	$\frac{1,304}{0,236}$	—	1,5
6	—	$\frac{38,82}{0,167}$	$\frac{5,263}{0,172}$	$\frac{2,236}{0,180}$	$\frac{1,386}{0,189}$	—	1,25
7,5	—	$\frac{56,56}{0,134}$	$\frac{5,639}{0,137}$	$\frac{2,356}{0,141}$	$\frac{1,465}{0,147}$	—	1
10	—	$\frac{103,8}{0,100}$	$\frac{6,058}{0,102}$	$\frac{2,480}{0,104}$	$\frac{1,543}{0,107}$	—	0,75
$\mu_1 \rightarrow$	$3/4$	$2/3$	$1/2$	$1/4$	0	—	$\uparrow \mu$

Функція  $f(t) = \frac{t^{m-jn-1}}{\sigma_l - t^n}$ , яка має  $n$  полюсів у точках  $t_k = e^{(ia_l + 2k\pi i)} \frac{1}{n}$  ( $k=0, 1, \dots, n-1$ ), може бути записана у вигляді суми головних частин лоранівських розкладів в околі кожного з полюсів [2]:

$$f(t) = \sum_{j=0}^{n-1} \frac{\text{res}_{t=t_k} f(t)}{t - t_k} = -\frac{1}{n} \sum_{j=0}^{n-1} \frac{t_k^{m-n(1+j)}}{t - t_k}.$$

Тепер інтеграл  $I(t)$  легко обчислюється

$$I(t) = -n \sum_{k=0}^j \sigma_l^k \frac{t^{m-kn}}{m-kn} - \sigma_l^{\frac{m}{n}} \sum_{k=0}^{n-1} e^{2k\pi i \left(\frac{m}{n}-j-1\right)} \ln(t-t_k). \quad (2.10)$$

3. Для ілюстрації впливу підкріплюючого ребра на зусилля в плиті розглянемо дві окремі задачі: на кінцях діаметра круглої плити з підкріпленим краєм діють рівні та протилежно направлені 1) згинюючі моменти  $M$  (рис. 1), 2) крутильні моменти  $M$  (рис. 2).

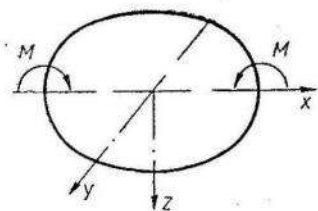


Рис. 1.

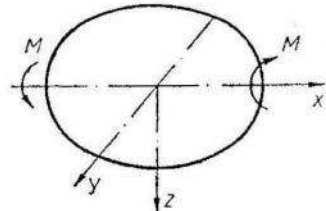


Рис. 2.

Для задачі 1 маємо

$$\begin{aligned} M_1 &= iM \text{ при } \sigma_1 = 1; \\ M_2 &= -iM \text{ при } \sigma_2 = -1. \end{aligned} \quad (3.1)$$

Для задачі 2 маємо

$$\begin{aligned} M_1 &= M \text{ при } \sigma_1 = 1; \\ M_2 &= -M \text{ при } \sigma_2 = -1. \end{aligned} \quad (3.2)$$

Підставляючи значення (3.1) та (3.2) у формули (2.6), після деяких перетворень одержуємо додаткові функції  $\varphi_1(\zeta)$  та  $\psi_1(\zeta)$  для задачі 1:

$$\begin{aligned} \varphi_1(\zeta) &= \frac{M\zeta}{2\pi D(3+\nu)(k_2-k_1)} \left\{ \left(k_2 - \frac{3+\nu}{1-\nu}\right) \zeta^{\mu_1} \int \frac{\zeta^{1-\mu_1}}{1-\zeta^2} d\zeta - \right. \\ &\quad \left. - \left(k_1 - \frac{3+\nu}{1-\nu}\right) \zeta^{\mu_2} \int \frac{\zeta^{1-\mu_2}}{1-\zeta^2} d\zeta \right\} + \frac{M\delta_1\zeta}{4\pi D(1+\nu)(1+\nu+\delta_1)}; \end{aligned} \quad (3.3)$$

$$\begin{aligned} \psi_1(\zeta) &= \frac{M\zeta^{-1}}{2\pi D(3+\nu)(k_2-k_1)} \left\{ [k_1 - (1+\mu_1)] \left(k_2 - \frac{3+\nu}{1-\nu}\right) \zeta^{\mu_1} \int \frac{\zeta^{1-\mu_1}}{1-\zeta^2} d\zeta - \right. \\ &\quad \left. - [k_2 - (1+\mu_2)] \left(k_1 - \frac{3+\nu}{1-\nu}\right) \zeta^{\mu_2} \int \frac{\zeta^{1-\mu_2}}{1-\zeta^2} d\zeta \right\} - \frac{M\zeta}{2\pi D(3+\nu)(1-\zeta^2)}; \end{aligned}$$

Для задачі 2 [6]

$$\begin{aligned} \varphi_1(\zeta) &= -\frac{iM\zeta}{2\pi D(3+\nu)(k_2-k_1)} \left\{ \left(k_2 + \frac{3+\nu}{1-\nu}\right) \zeta^{\mu_2} \int \frac{i\zeta^{1-\mu_1}}{1-\zeta^2} d\zeta - \right. \\ &\quad \left. - \left(k_1 + \frac{3+\nu}{1-\nu}\right) \zeta^{\mu_1} \int \frac{i\zeta^{1-\mu_2}}{1-\zeta^2} d\zeta \right\}; \end{aligned} \quad (3.4)$$

$$\begin{aligned}\psi_1(\zeta) = & -\frac{iM\zeta^{-1}}{2\pi D(3+\nu)(k_2-k_1)} \left\{ [k_1-(1+\mu_1)] \left( k_2 + \frac{3+\nu}{1-\nu} \right)^{\mu_2} \int \frac{\zeta^{1-\mu_1}}{1-\zeta^2} d\zeta - \right. \\ & \left. - [k_2-(1+\mu_2)] \left( k_1 + \frac{3+\nu}{1-\nu} \right)^{\mu_1} \int \frac{\zeta^{1-\mu_2}}{1-\zeta^2} d\zeta \right\} + \frac{iM}{2\pi D(3+\nu)} \cdot \frac{\zeta}{1-\zeta^2}.\end{aligned}$$

Згинаючі моменти та зусилля в плиті (в полярній системі координат), які діють в точках  $\sigma = e^{i\theta}$  контура  $\gamma$ , виражаються за відомими формулами [4] у вигляді:  
для задачі 1:

$$\begin{aligned}M_\theta = & -4D(1+\nu)\operatorname{Re}[\varphi'(\sigma)] + 2D(1-\nu)\operatorname{Re}[\sigma\varphi''(\sigma) + \sigma^2\psi'(\sigma)] = \\ & = M \sum_{1,2} A_j \operatorname{Re}\Phi(\mu_j); \\ M_\rho = & -4D(1+\nu)\operatorname{Re}[\varphi'(\sigma)] - 2D(1-\nu)\operatorname{Re}[\sigma\varphi''(\sigma) + \sigma^2\psi'(\sigma)] = \\ & = M \sum_{1,2} B_j \operatorname{Re}\Phi(\mu_j) + \frac{M}{\pi} \frac{1+\nu}{1+\nu+\delta_1}; \\ Q_\rho = & -8D\operatorname{Im}[\sigma\varphi''(\sigma)] = \\ & = M \sum_{1,2} C_j \operatorname{Re}\Phi(\mu_j) + \frac{4M}{\pi(3+\nu)} \left( \alpha_{11} + \frac{3+\nu}{1-\nu} \alpha_{12} \right) \operatorname{Re}\left(\frac{1}{1-\sigma^2}\right);\end{aligned}\quad (3.5)$$

для задачі 2

$$\begin{aligned}H_{\rho\theta} = & 2D(1-\nu)\operatorname{Im}[\sigma\varphi''(\sigma) + \sigma^2\psi'(\sigma)] = M \sum_{1,2} D_j \operatorname{Re}\Phi(\mu_j); \\ Q_\theta = & 8D\operatorname{Im}[\sigma\varphi''(\sigma)] = \\ & = M \sum_{1,2} E_j \operatorname{Re}\Phi(\mu_j) + \frac{4M}{\pi(3+\nu)} \left( \alpha_{11} - \frac{3+\nu}{1-\nu} \alpha_{12} \right) \operatorname{Re}\left(\frac{1}{1-\sigma^2}\right).\end{aligned}\quad (3.6)$$

Тут позначено

$$\begin{aligned}\Phi(\mu_j) = & \sigma^{\mu_j} \int \frac{\sigma^{1-\mu_j}}{1-\sigma^2} d\sigma; \\ \operatorname{Re}\Phi(\mu) = & \operatorname{Im}[i\Phi(\mu)].\end{aligned}\quad (3.7)$$

Формули для коефіцієнтів  $A_j, B_j, C_j, D_j, E_j$  ( $j=1, 2$ ) наведені в табл. 2.

У розв'язок (3.3)–(3.4) входить інтеграл вигляду

$$\zeta^\mu \int \frac{\zeta^{1-\mu}}{1-\zeta^2} d\zeta.$$

Для прикладу обчислимо цей інтеграл при  $\mu_1=0,5$ ;  $\mu_2=-3,5$ . Згідно з (2.10) маємо

$$\sqrt{\zeta} \int \frac{\sqrt{\zeta}}{1-\zeta^2} d\zeta = -\frac{\sqrt{\zeta}}{2} \left( \ln \frac{1-\sqrt{\zeta}}{1+\sqrt{\zeta}} + i \ln \frac{1-i\sqrt{\zeta}}{1+i\sqrt{\zeta}} \right);$$

Таблиця 2

	$j=1$	$j=2$
$A_j$	$-\frac{k_2 - \frac{3+\nu}{1-\nu}}{\pi(3+\nu)(k_2-k_1)} [(1+3\nu)(1+\mu_1) + k_1(1-\nu)(1-\mu_1)]$	$\frac{k_1 - \frac{3+\nu}{1-\nu}}{\pi(3+\nu)(k_2-k_1)} [(1+3\nu)(1+\mu_2) + k_2(1-\nu)(1-\mu_2)]$
$B_j$	$-\frac{k_2 - \frac{3+\nu}{1-\nu}}{\pi(3+\nu)(k_2-k_1)} [(3+\nu)(1+\mu_1) - k_1(1-\nu)(1-\mu_1)]$	$\frac{k_1 - \frac{3+\nu}{1-\nu}}{\pi(3+\nu)(k_2-k_1)} [(3+\nu)(1+\mu_2) - k_2(1-\nu)(1-\mu_2)]$
$C_j$	$-4 \frac{k_2 - \frac{3+\nu}{1-\nu}}{\pi(3+\nu)(k_2-k_1)} \mu_1(1+\mu_1)$	$4 \frac{k_1 - \frac{3+\nu}{1-\nu}}{\pi(3+\nu)(k_2-k_1)} \mu_2(1+\mu_2)$
$D_j$	$-\frac{k_2 + \frac{3+\nu}{1-\nu}}{\pi(3+\nu)(k_2-k_1)} (1-\nu)[(1+\mu_1) - k_1(1-\mu_1)]$	$\frac{k_1 + \frac{3+\nu}{1-\nu}}{\pi(3+\nu)(k_2-k_1)} (1-\nu)[(1+\mu_2) - k_2(1-\mu_2)]$
$E_j$	$-4 \frac{k_2 + \frac{3+\nu}{1-\nu}}{\pi(3+\nu)(k_2-k_1)} \mu_1(1+\mu_1)$	$4 \frac{k_1 + \frac{3+\nu}{1-\nu}}{\pi(3+\nu)(k_2-k_1)} \mu_2(1+\mu_2)$

$$\zeta^{-3,5} \int \frac{\zeta^{4,5}}{1-\zeta^2} d\zeta = -\frac{2}{7} - \frac{2}{3} \frac{1}{\zeta^2} - \frac{1}{2} \frac{V\zeta}{\zeta^4} \left( \ln \frac{1-V\zeta}{1+V\zeta} + i \ln \frac{1-iV\zeta}{1+iV\zeta} \right).$$

Тут  $|\arg \zeta| \leq \pi$ .

Аналітична функція  $V\zeta \left( \ln \frac{1-V\zeta}{1+V\zeta} + i \ln \frac{1-iV\zeta}{1+iV\zeta} \right)$  є регулярною в

безмежній площині з розрізами вздовж променів  $(0, -\infty)$  та  $(1, \infty)$ , а тому можна продовжити аналітично розв'язок задачі на всі точки контура  $\gamma$  за винятком точок  $\pm 1$ , в яких діють зосереджені моменти.

В непідкріплений плиті [9] при підході до точок прикладання зосереджених моментів внутрішні згинаючі та крутячі моменти мають особливості вигляду  $\frac{1}{1-\rho}$ , а перерізуючі сили  $Q_\rho$  та  $Q_\theta$ — особливості вигляду  $\frac{1}{(1-\rho)^2}$ . Щодо плити з підкріпленим краєм, то, як показує аналіз наведених вище формул, в околі точок прикладання зосереджених моментів моменти та перерізуючі сили мають більш слабкі особливості вигляду відповідно  $\ln(1-\rho)$  та  $\frac{1}{1-\rho}$ .

На рис. 3 наведені графіки залежності зусиль та моментів (3.5) та (3.6) в точці  $\sigma=i$  для  $\mu_1=0,5$  та  $1,5 \leq \mu \leq 10$ . Відповідні значення відносних жорсткостей ребра змінюються при цьому (табл. 1) в інтер-

валах  $1,842 \leq \delta_1 \leq 6,058$ ;  $0,102 \leq \delta_2 \leq 1,045$ . Для порівняння на тому ж рис. 3 пунктиром показані значення відповідних зусиль в непідкріплений плиті [9].

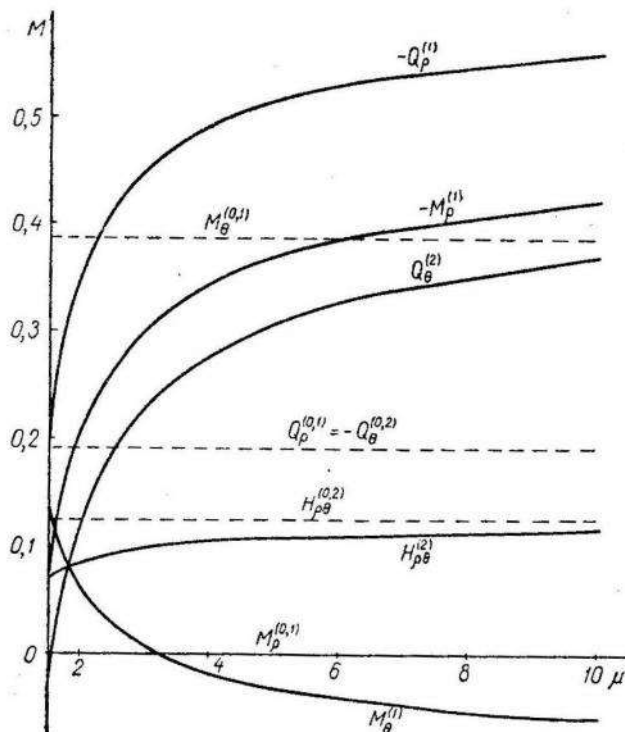


Рис. 3.

#### ЛІТЕРАТУРА

1. Д. В. Вайнберг. Напряженное состояние составных дисков и пластин. Изд-во АН УССР, 1952.
2. А. И. Маркушевич. Теория аналитических функций. М., 1950.
3. Г. Н. Савин, Н. П. Флейшман. Пластиинки с криволинейными ребрами жесткости. Труды II Всесоюзного съезда по теоретической и прикладной механике (обзорные доклады). Изд-во АН СССР, 1965.
4. Г. Н. Савин, Н. П. Флейшман. Пластиинки и оболочки с ребрами жесткости. Изд-во «Наукова думка», К., 1964.
5. Н. П. Флейшман. Изгиб произвольно загруженной тонкой плиты с подкрепленной круговой границей. Прикладная механика, т. II, вып. 8, 1966.
6. Н. П. Флейшман, О. В. Марковская. Дія зосереджених моментів на круглу плиту з підкріпленим краєм. Тези доповідей 39 наукової конференції ЛДУ, фіз.-матем. науки, 1965.
7. М. П. Шереметьев. Пластиинки с подкрепленным краем. Изд-во Львов. ун-та, 1960.
8. М. П. Шереметьев, Т. Л. Мартинович. Згин нескінченної пластиинки з еліптичним отвором, край якого підкріплений тонким пружним кільцем. Прикладна механіка, т. III, вип. 2, 1957.
9. Yu Yi-Yuan. Yournal of Applied Mechanics, vol. 21, № 2, 1954.

Н. П. ФЛЕЙШМАН, Е. В. МАРКОВСКАЯ

#### ВЛИЯНИЕ РЕБРА ЖЕСТКОСТИ НА ИЗГИБ КРУГЛОЙ ПЛИТЫ СОСРЕДОТОЧЕННЫМИ МОМЕНТАМИ

(ре<sup>з</sup>ю<sup>м</sup>е)

В замкнутой форме получено решение задачи изгиба круглой изотропной плиты с подкрепленным краем под действием сосредоточенных моментов, приложенных к краю. Показано, что в точках приложения сосредоточенных моментов внутренние усилия имеют более слабые особенности, чем в неподкрепленной плите.